



БИООРГАНИЧЕСКАЯ ХИМИЯ

том 11 * № 11 * 1985

УДК 577.112.5:591.145.2-546

ИЗУЧЕНИЕ НЕЙРОТОКСИНОВ ИЗ ЯДА СРЕДНЕАЗИАТСКОГО СКОРПИОНА *BUTHUS EUPEUS*

Волкова Т. М., Гарсия А. Ф., Тележинская И. Н.,
Потапенко Н. А., Гришин Е. В.

Институт биоорганической химии им. М. М. Шемякина
Академии наук СССР, Москва

Из яда среднеазиатского скорпиона *Buthus eupeus* выделены три главных нейротоксина для млекопитающих — M_9 , M_{10} и M_{14} . Определен аминокислотный состав всех токсинов. В результате исследования структуры пептидов, полученных при гидролизе трипсином, химотрипсином, протеиназой из *Staphylococcus aureus* и BNPS-скатолом, установлена полная аминокислотная последовательность токсинов M_9 и M_{14} .

Полипептидные нейротоксины из ядов членистоногих широко используются как инструменты исследования компонентов биологических мембран. Токсины скорпионов влияют на процесс инактивации или активации натриевых каналов и в основном применяются для изучения этих мембранных транспортных систем [1, 2]. Токсины скорпионов могут селективно действовать на какой-либо один класс животных и подразделяются на токсины для млекопитающих, для ракообразных и инсектотоксины [3, 4]. Ранее из яда скорпиона *Buthus eupeus* были выделены 12 нейротоксинов для млекопитающих и 5 инсектотоксинов [5, 6]. В настоящей работе, как и в работе [7], был исследован яд среднеазиатского подвида этого скорпиона, полученный от особей, собранных в достаточно узком ареале обитания. В результате были выделены главные токсины яда среднеазиатского подвида скорпиона *B. eupeus*: M_9 , M_{10} и M_{14} . Структура токсина M_{14} была изучена ранее [7]. Настоящая работа посвящена выяснению полной аминокислотной последовательности двух других главных компонентов яда *.

Для облегчения и ускорения процесса выделения нейротоксинов в отличие от ранее использованного способа [7] цельный яд скорпиона *B. eupeus* после отделения нерастворимых примесей подвергался предварительному фракционированию на СМ-целлюлозе СМ-32 с элюцией буфером возрастающей ионной силы. При этом практически вся токсическая активность обнаруживалась во фракции, элюированной 0,5 М аммоний-ацетатным буфером (рН 7,8) и содержащей ~25% исходного материала. Дальнейшее разделение проводилось гель-фильтрацией на биогеле Р-10 (рис. 1). Токсичные фракции IV и V подвергались фракционированию на биорексе 70 в градиенте концентраций аммоний-ацетатного буфера (рис. 2, 3). С помощью равновесной хроматографии на DEAE-сепадексе А-50 из фракции IV-5 был выделен с выходом 1,95% токсин M_9 (рис. 4). Хроматографией с рециклизацией на том же сорбенте фракции V-4 достигнуто разделение токсинов M_{10} и M_{14} (выход 2,6 и 1,44%) (рис. 5). Таким образом, выход нейротоксинов M_9 , M_{10} и M_{14} в сумме достигал 6%. Следовательно, они являются главными токсическими компонентами яда скорпиона *B. eupeus*. Эти токсины обладали достаточно высокой биологической активностью, значения LD_{50} составляли 0,708; 0,720 и 0,915 мг/кг веса мыши. Гомогенность токсинов показана с помощью дисперсионного анализа в 15% полиакриламидном геле, определения N-концевых аминокислотных остатков, а также анализа аминокислотного состава. Все эти токсины со-

* Результаты по изучению аминокислотной последовательности токсинов M_9 и M_{14} были представлены ранее в кратком сообщении [8].

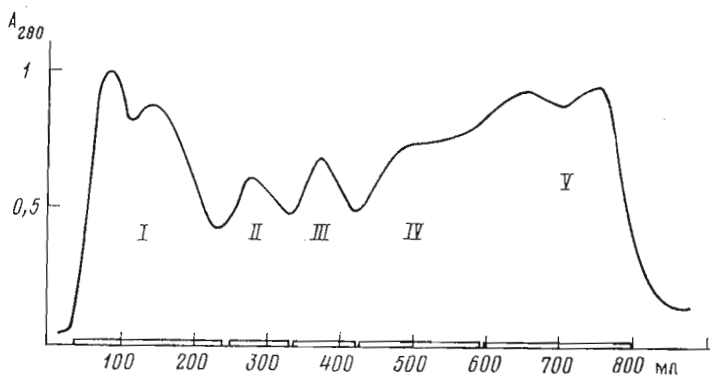


Рис. 1. Гель-хроматография 2 г токсичной фракции яда скорпиона *B. eureus* (полученной после целлюлозы CM-32) на биогеле Р-10 в 0,05 М NH_4HCO_3 (рН 7,9); две последовательно соединенные колонки размером 3,4×100 см, скорость элюции 40 мл/ч, объем фракций 8 мл. Показаны границы объединения фракций

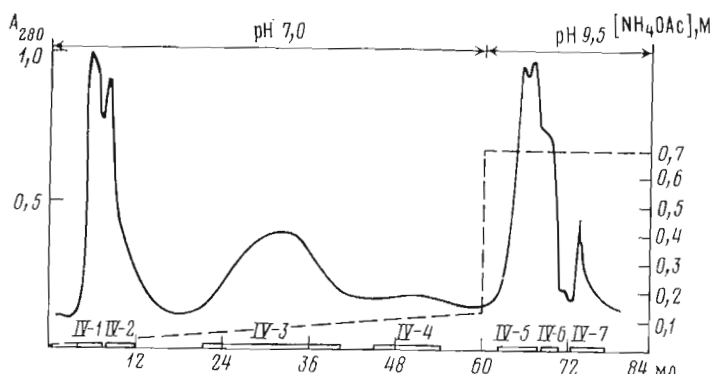


Рис. 2. Хроматография фракции IV (рис. 1) на биорексе 70 в градиенте рН и молярности аммоний-ацетатного буфера; колонка размером 1,5×40 см, скорость элюции 2 мл/ч, объем фракций 0,5 мл

стоят из 65–66 аминокислотных остатков с четырьмя внутримолекулярными дисульфидными связями и обладают очень высокой степенью гомологии со всеми ранее выделенными токсинами для млекопитающих из яда скорпиона *B. eureus* (табл. 1).

Для установления аминокислотной последовательности токсинов M_9 и M_{11} использовали классические приемы и методы определения структуры белков. Первоначально проводили восстановление дисульфидных связей и карбоксиметилирование образовавшихся сульфидильных групп. Для облегчения идентификации цистeinовых остатков модификацию осуществляли $[^3\text{H}]$ -иодуксусной кислотой. Деградацией по методу Эдмана с идентификацией Dns-производных аминокислот было показано, что оба токсина имеют одинаковую N-концевую последовательность: Ala-Arg. С помощью карбоксипептидаз А и В удалось установить C-концевые последовательности токсинов: M_9 — Cys(Cm)-His и M_{14} — Cys(Cm)-Arg.

Расщепление полипептидной цепи CM-нейротоксина M_9 осуществлялось трипсином. Все триптические фрагменты (за исключением T-1 и T-8) были получены в индивидуальном виде ВЭЖХ с обращенной фазой в градиенте ацетонитрила (рис. 6). В табл. 2 приведен аминокислотный состав всех гомогенных пептидов, в сумме составляющих 62 аминокислотных остатка. Фрагменты T-1 и T-8 анализировали в смеси, причем последовательность T-1 совпадала с N-концевой последовательностью токсина. Структуру пептидов устанавливали методом Эдмана с идентификацией аминокислотных остатков в виде Dns-производных [9, 10]. Одновременно определяли дикарбоновые аминокислоты и их амиды в виде Pth-производ-

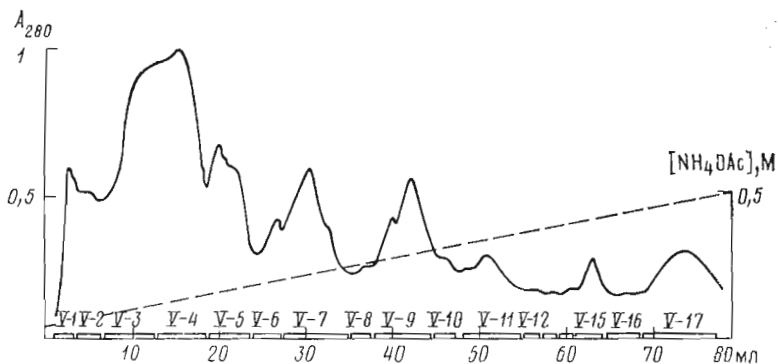


Рис. 3. Разделение фракции V (рис. 1) на биорексе 70 в градиенте молярности аммоний-ацетатного буфера (pН 7,5); колонка размером 1,5×40 см, скорость элюции 1,8 мл/ч, объем фракций 0,5 мл

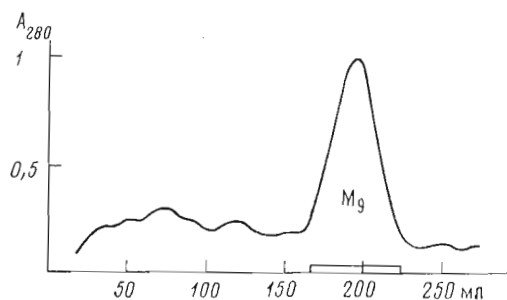


Рис. 4. Хроматография фракции IV-5 (рис. 2) на DEAE-сепадексе А-50 в 0,2 М аммоний-ацетатном буфере (pН 8,5); две последовательно соединенные колонки размером 1,5×85 см, скорость элюции 8 мл/ч, объем фракций 5 мл

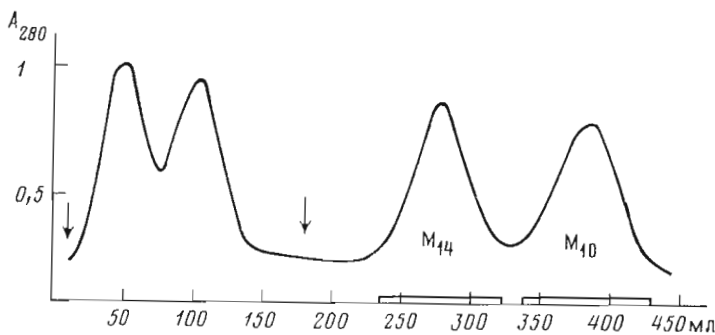


Рис. 5. Хроматография с рециклизацией фракции V-4 (рис. 3) на DEAE-сепадексе А-50 в 0,2 М аммоний-ацетатном буфере (pН 8,5); две последовательно соединенные колонки размером 1,5×85 см, скорость элюции 8 мл/ч, объем фракций 5 мл. Вертикальные стрелки указывают начало цикла

ных [11]. В некоторых случаях С-концевые последовательности пептидов устанавливали с помощью карбоксипептидаз А и В [12]. В табл. 3 представлены результаты определения аминокислотной последовательности триптических пептидов СМ-токсина M_9 .

Наличие в молекуле токсина M_9 трех остатков глутаминовой кислоты позволило расщепить исходный полипептид на четыре крупных фрагмента с помощью протеиназы из *Staphylococcus aureus*. Разделение этих фрагментов осуществлялось гель-хроматографией на сепадексе G-25 (рис. 7). Пептиды Sp2-1 и Sp2-2, имеющие практически одинаковую молекулляр-

Таблица 1

Аминокислотный состав токсинов яда скорпиона *B. eupreus*

Аминокислота	M ₁	M ₂	M ₃	M ₄	M ₅	M ₆	M ₇	M ₈	M ₉ [*]	M ₁₀ [*]	M ₁₁	M ₁₂	M ₁₃	M ₁₄ [*]
Asp	11	10	9	10	11	9	13	10	9	9	8	9	10	12
Thr	2	2	1	3	3	2	2	1	1	1	2	1	1	1
Ser	4	3	4	5	4	3	4	3	2	5	5	5	4	2
Glu	6	6	3	5	6	6	6	7	5	5	3	3	3	4
Pro	6	6	5	5	6	8	9	6	6	6	9	8	8	5
Gly	6	7	5	4	5	6	6	6	5	5	7	7	7	6
Ala	7	8	8	8	8	8	8	8	8	8	8	8	8	8
1/2Cys	8	2	3	2	2	3	1	1	2	3	2	2	2	2
Val	2	2	2	1	2	3	4	2	2	5	2	4	3	3
Ile	4	3	2	1	2	2	3	2	2	3	1	3	1	3
Leu	3	4	3	6	4	5	4	4	4	6	6	4	4	4
Tyr	4	1	1	1	1	2	2	2	2	2	1	1	1	1
Phe	2	3	3	4	4	2	2	2	2	2	2	2	2	2
His	5	5	5	8	5	9	5	5	5	4	8	3	6	4
Lys	2	3	3	2	2	2	2	2	2	2	2	2	2	5
Arg	3	3	3	4	2	4	2	5	3	3	3	2	2	2
Trp	75	60	68	70	78	64	73	64	66	65	61	67	65	66
Всего														
N-Концевая														
Литература	[5]	[5]	[5]	[5]	[5]	[5]	[5]	[5]	[5]	[5]	[6]	[6]	[6]	

* Данные настоящей работы; для токсина M₁₀ аминокислотный состав полностью совпадает с данными работы [7].

Таблица 2

Аминокислотный состав СМ-токсина M₉ и его пентидов, полученных при расщеплении трипсином (T), протеиназой из *Staphylococcus aureus* (Sp)

Аминокислота	СМ-М ₉	T-2	T-3	T-4	T-5	T-6	T-7	Sp ₁	Sp ₂₋₁	Sp ₂₋₂	Sp3
Cys(Cm)	6,61(8) 9,06(9) 1,07(1) 2,21(2) 5,17(5) 4,51(5) 6,00(6) 4,82(5) Val	4,08(1)	1,69(2) 2,14(2)	1,90(2) 3,31(3)	2,53(3) 3,30(3) 1,00(1) 2,06(2) 3,38(3)	1,65(2) 3,35(3)		2,95(4) 3,27(3)	0,81(1) 0,96(1)	2,48(3) 2,12(2) 0,96(1)	1,42(1) 1,04(1) 1,13(1) 0,85(1) 1,26(1) 0,92(1)
Asp							1,18(1)	2,07(2)	1,22(1)	1,13(1)	
Ser							1,18(1)	3,01(3)	1,02(1)	1,02(1)	
Glu							1,08(1)	4,32(4)			
Pro							1,05(4)	1,28(1)			
Gly							1,13(1)	1,20(1)			
Ala							1,36(1)	1,42(1)			
Val							1,21(1)	1,32(1)			
Ile							1,21(1)	1,03(1)			
Leu							1,03(1)	0,85(1)			
Tyr							1,80(2)	2,83(3)			
His							1,28(1)	0,89(1)			
Lys							1,72(2)	1,96(2)			
Arg							3,87(4)	1,09(1)			
Trp							2,42(2)	0,99(1)			
N-Контцевая							1,00(1)	(1)			
Ala							Asp				
Asp	66	3	45	48	48	Gly					
Всего							Tyr	Ilе	Ser	Ala	Cys(Cm)
Выход, %							23	47	32	45	Asn
							64	51	64	43	4
											67

Аминокислотная последовательность пептидов СМ-токсина M₉

Пептид	Аминокислотная последовательность *	Положение в полипептидной цепи белка
T-4	Ala	1-2
T-8	Cys(Cm) — His	65-66
T-2	Asp-Ala-Tyr	3-5
T-3	Ile-Ala-Lys-Pro-His-Asn-Cys(Cm)-Val-Tyr-Glu-Cys(Cm)-Tyr-Asn-Pro-Lys	6-20
T-4	Asp-Ala-Tyr-Ile-Ala-Lys-Pro-(His, 2 Asn, 2 Cys(Cm), Val, 2 Tyr, Glu, Pro)-Lys	3-20
T-5	Gly-Ser-Tyr-Cys(Cm)-Asn-Asp-Leu-Cys(Cm)-Thr-Glu-Asn-Gly-Ala-Glu-Ser-Gly-Tyr-Cys(Cm)-Gln-Ile-Leu-Gly-Lys	21-43
T-6	Tyr-Gly-Asn-Ala-Cys(Cm)-Trp-Cys(Cm)-Ile-Gln-Leu-Pro-Asp-Asn-Val-Pro-Ile-Arg	44-60
T-7	Ile-Pro-Gly-Lys	61-64
Sp2-1	Ala-Arg-Asp-Ala-(2 Tyr, Ile, Ala, Lys, Pro, His, Asn, Cys(Cm), Val)-Glu	1-15
Sp2-2	Cys(Cm)-Tyr-Asn-Pro-Lys-Gly-Ser-(Tyr, 2 Cys(Cm), Asn, Asp, Leu, Thr)-Glu	16-30
Sp3	Asn-Gly-Ala-Glu	31-34
Sp1	Ser-Gly-Tyr-Cys(Cm)-Gln-Ile-Leu-Gly-Lys-Tyr-Gly-Asn-Ala-(3 Cys(Cm), Trp, 3 Ile, Gln, Leu, 3 Pro, Asn, Val, Arg, Gly, Lys, His)	35-66
S-1 **	Cys(Cm)-Ile-Gln-Leu-Pro-Asp-Asn-Val-Pro-Ile-Arg-Ile-Pro-Gly-Lys-Cys(Cm)-His	50-66

* → — стадии деградации по Эдману, — отщепление карбоксипептидазами.

** Пептид, полученный при расщеплении сукцинилированного токсина M₉ BNPS-скатолом.

ную массу, удалось разделить лишь с помощью ВЭЖХ с обращенной фазой. Определение аминокислотной последовательности фрагментов Sp1, Sp2-1, Sp2-2, Sp3 (табл. 3) не позволило реконструировать С-концевую часть молекулы. Для получения недостающей информации СМ-токсин M₉ был модифицирован янтарным ангидридом и расщеплен BNPS-скатолом по единственному остатку трилтофана. Структурный анализ пептида S-1 позволил определить полную аминокислотную последовательность пейротоксина M₉ (см. рис. 9).

Первичная фрагментация СМ-токсина M₁₄ проводилась трипсином. Среди N-концевых аминокислот смеси пептидов был обнаружен лизин, что указывает на существование в молекуле последовательности Lys-Lys или Arg-Lys. С помощью ВЭЖХ с обращенной фазой в градiente концен-

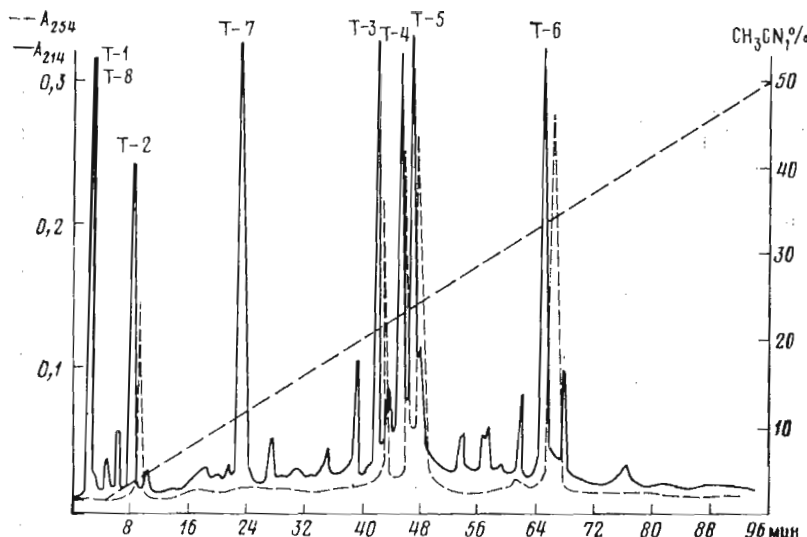


Рис. 6. Разделение триптических пептидов СМ-токсина M_9 ВЭЖХ на колонке Ultrasphere ODS C₁₈, 5 мкм (0,46×25 см) в градиенте концентрации ацетонитрила в 10 мМ аммоний-ацетатном буфере (рН 5,7). Скорость элюции 1 мл/мин

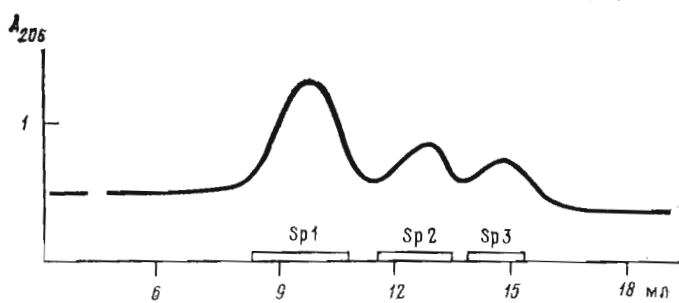


Рис. 7. Хроматография пептидов, полученных при гидролизе СМ-токсина M_9 протеиназой из *S. aureus*, на сефадексе G-25 в 0,1 М аммоний-ацетатном буфере (рН 5,7); колонка размером 0,4×130 см, скорость элюции 1,3 мл/ч, объем фракций 0,3 мл

трации ацетонитрила (рис. 8) были получены 7 индивидуальных пептидов, содержащих в общей сложности 64 аминокислотных остатка (табл. 4). Поскольку методом Эдмана не удалось определить полную аминокислотную последовательность пептида Т-3, был проведен исчерпывающий гидролиз этого фрагмента химотрипсином. После разделения ВЭЖХ с обращенной фазой проанализированы три полученных пептида.

Для реконструкции полипептидной цепи СМ-токсина M_{14} оказалось наиболее удобным расщепление молекулы химотрипсином. Разделение полученных пептидов было проведено в условиях, аналогичных использованным для триптического гидролизата. В табл. 4 и 5 показаны аминокислотный состав и последовательность всех химотриптических фрагментов токсина M_{14} , причем фрагменты Ch-5 и Ch-7 анализировались в смеси. На основании информации по структуре триптических и химотриптических фрагментов токсина M_{14} была установлена полная аминокислотная последовательность этого полипептида (рис. 9). Гомология в аминокислотной последовательности M_9 и M_{14} достигает 70%. Во всех трех токсинах, выделенных из яда *B. europeus* (M_9 , M_{10} и M_{14}), обнаруживаются достаточно крупные гомологичные участки. А поскольку механизм действия их однинаков, можно предположить, что именно эти участки определяют связывание токсинов с их мембранным рецептором.

Аминокислотный состав СМ-токсина M₁₄ и его триптических (T)

Аминокислота	СМ-M ₁₄	T-1	T-2	T-3	T-4	T-5	
Cys(Cm)	6,03(8)			3,41(4)	0,73(1)	1,59(2)	
Asp	11,84(12)		2,81(3)	3,12(3)	2,09(2)	1,41(1)	
Thr	1,18(1)			0,79(1)			
Ser	2,45(2)			0,81(1)	1,41(1)		
Glu	3,48(4)			1,15(1)	1,37(1)		
Pro	3,98(4)			0,99(1)			
Gly	5,51(5)				3,19(3)	1,36(1)	
Ala	6,48(6)	1,17(1)	2,08(2)	1,21(1)	1,21(1)	1,28(1)	
Val	1,80(2)			0,89(1)			
Ile	2,83(3)		0,83(1)				
Leu	2,78(3)			0,91(1)	1,03(1)		
Тир	4,09(4)		0,79(1)	1,82(2)	0,76(1)		
Phe	1,50(1)					1,02(1)	
Lys	4,08(4)			1,03(1)		0,98(1)	
Arg	5,09(5)	1,00(1)	1,02(1)		0,96(1)		
Trp	(2)				(1)	(1)	
N-Концевая	Ala	Ala	Asp	Asn	Asn	Phe	
Всего	66	2	8	17	13	8	
Выход, %		71	74	62	69	67	

Экспериментальная часть

В работе использовали лиофильно высушенный цельный яд скорпиона *B. eureus* отечественного производства, ТРСК-трипсин, химотрипсин (Worthington, США), карбоксипептидазы А и В (Boehringer, ФРГ), стафилококковую протеиназу (Miles, Англия). Для хроматографии применяли биогель P-10 и катионит Bio Rex 70 (Bio Rad, США), DEAE-сепадекс A-50 (Pharmacia, Швеция), целлюлозу CM-32 (Whatman, Англия). Разделение токсинов и пептидов ВЭЖХ с обращенной фазой осуществляли на хроматографе Altex с проточным спектрофотометром (модель 332) с объемом ячейки 8 мкл (Altex, США), использовали колонки Silasorb C₈(A) и Ultrasphere ODS C₁₈(B) размером 0,46×25 см. Для контроля разделения пептидов присоединяли проточный спектрофотометр Altex 460 (Beckman, США), который измерял поглощение при 214 нм.

Аминокислотный анализ проводили на автоматическом анализаторе аминокислот D-500 (Durrum, США).

Выделение нейротоксинов. Цельный яд *B. eureus* (8 г) растворяли в 0,1 М NH₄OAc (рН 5), центрифугировали 60 мин при 18 000 об/мин (ротор JA-20, центрифуга J-21B, Beckman, США). Осадок ресуспензировали в том же буфере и повторно центрифугировали. Супернатант наносили на колонку (5×15 см) с целлюлозой CM-32, уравновешенной тем же буфером. Проводили ступенчатую элюцию 0,1 М NH₄OAc (рН 5), 0,1 М NH₄OAc (рН 7,8), 0,5 М NH₄OAc (рН 7,8), 0,5 М NH₄OAc (рН 9,0); собирали активную фракцию, полученную при элюции 0,5 М NH₄OAc (рН 7,8). После обессоливания на сепадексе G-10 и лиофилизации токсическую фракцию хроматографировали на двух последовательно соединенных колонках (3,4×100 см) с биогелем P-10 (рис. 1). Токсичные фракции IV и V подвергали ионообменной хроматографии на биорексе 70 в градиенте аммоний-ацетатного буфера (рис. 2, 3). Фракцию IV-5 рехроматографировали на DEAE-сепадексе A-50 в 0,2 М NH₄OAc, pH 8,5 (рис. 4). Фракцию

и химотриптических (Ch) пептидов

T-6	T-7	Ch-1	Ch-2	Ch-3	Ch-4	Ch-6	Ch-8
2,83(3)	0,69(1) 1,14(1)		0,81(1) 3,22(3)	0,71(1) 1,11(1) 1,02(1)	1,78(2) 3,25(3)		1,65(2) 3,27(3)
2,03(2)	1,83(2) 0,89(1) 1,32(1)				2,18(2) 1,31(1)		2,24(2) 3,19(3) 1,31(1)
1,12(1)		2,12(2)	1,29(1)	1,11(1)	1,41(1)		1,12(1)
0,99(1)	0,99(1)			0,95(1)			1,82(2)
1,21(1)				0,74(1)		0,74(1)	1,13(1)
			0,96(1)	0,92(1)	0,82(1)	0,72(1)	1,04(1)
1,00(1)	1,01(1)	1,07(1)	1,01(1)			1,98(2)	2,01(2) 1,85(2)
Asn	Ile	Ala	Ile	Thr	Cys	Leu	Cys
9	7	5	9	7	14	4	19
70	69	72	60	68	67	75	69

V-4 разделяли хроматографией с рециклизацией на DEAE-сепадексе А-50 в том же буфере (рис. 5).

Гомогенность полученных фракций контролировали диск-электрофорезом в 15% полиакриламидном геле (рН 4,3) по методу Рейсфельда [13].

Токсичность изучаемых фракций и образцов контролировали на белых мышах путем внутривенных инъекций как описано ранее [14].

Аминокислотный состав токсинов и пептидов определяли по стандартной методике [6].

Восстановление β -меркаптоэтанолом и карбоксиметилирование токсинов M_9 и M_{14} проводили по методике [15].

Триптический гидролиз CM-токсинов M_9 и M_{14} . 200 нмоль CM-токсина растворяли в 600 мкл 0,1 М NH_4HCO_3 (рН 8,3) и затем обрабатывали трипсином 4 ч при 37°C и отношении фермент — субстрат 1:50 (по весу). Гидролизат подкисляли и упаривали. Разделение триптических пептидов осуществляли ВЭЖХ на колонке В (рис. 6, 8).

*Гидролиз CM-токаина M_9 протеиназой из *S. aureus*.* 100 нмоль токсина растворяли в 200 мкл 0,2 М NH_4HCO_3 , рН 7,9, добавляли протеиназу в соотношении 1:30 (по весу) и вели гидролиз 4 ч при 37°C. Гидролизат упаривали и разделяли хроматографией на сепадексе G-25 в 0,1 М NH_4OAc , рН 5,7 (рис. 7). Фракцию Sp2 подвергали разделению на колонке А методом ВЭЖХ с обращенной фазой в градиенте концентрации ацетонитрила в 0,1% трифторуксусной кислоте.

Сукцинилирование CM-токаина M_9 . проводили по ранее описанному методу [16]. 80 нмоль токсина в 700 мкл 1 М Na_2HPO_4 (рН 9) обрабатывали 1 ч 100-кратным избытком янтарного ангидрида (в ячейке титратора), рН поддерживали с помощью 2,5 М NaOH , затем немедленно обессоливали на биотеле Р-4 (1×90 см) в 5 mM NH_4OH .

Гидролиз сукцинилированного CM-токаина M_9 BNPS-скатолом. 20 нмоль токсина суспендировали в 0,2 мл ледяной уксусной кислоты и добавляли 1,5-кратный избыток BNPS-скатола, перемешивали и добавляли 50 мкл

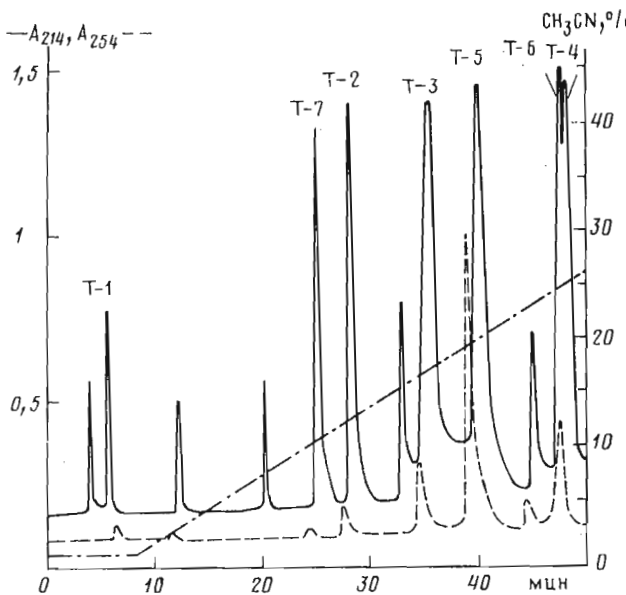


Рис. 8. Разделение триптических пептидов СМ-токсина M_{14} ВЭЖХ на колонке Ultrasphere ODS C₁₈ (условия как на рис. 6)

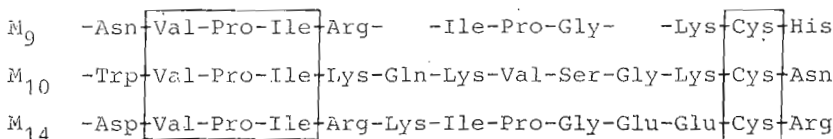
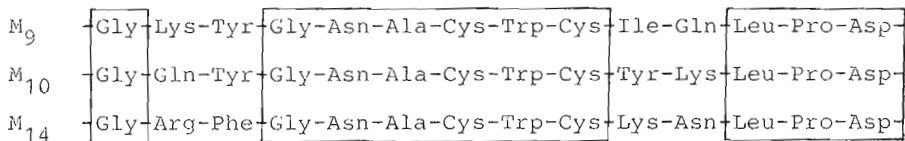
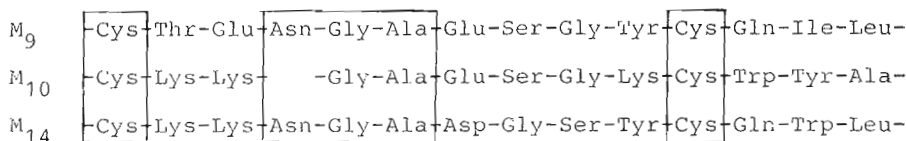
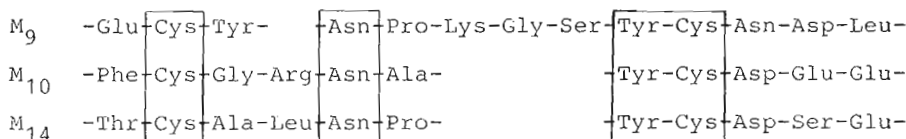
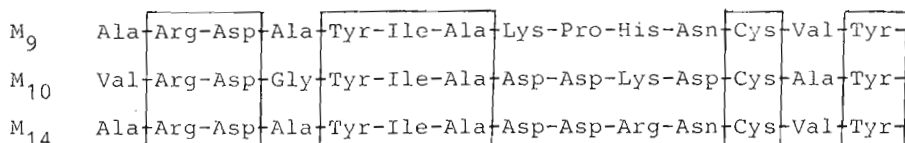


Рис. 9. Полные аминокислотные последовательности токсинов M_9 , M_{10} и M_{14} из яда скорпиона *B. eureus*. В рамки взяты инвариантные остатки. Пропуски означают делецию

Таблица 5

Аминокислотная последовательность пептидов СМ-токсина M_{14}

Пептид	Аминокислотная последовательность		Положение в полипептидной цепи белка
	Пептид	Положение в полипептидной цепи белка	
T-1	Ala-Arg ↓ ↓	1-2	
T-2	Asp-Ala-Tyr-Ile-Ala-Asp-Asp-Arg ↓ ↓ ↓ ↓ ↓ ↓ ↓ ↓	3-10	
T-3	Asn-Cys(Cm)-Val-Tyr-Thr-Cys(Cm)-Ala-Leu-Asn-(Pro, Tyr, 2 Cys(Cm), Asp, Ser, Glu)-Lys ↓ ↓ ↓ ↓ ↓ ↓ ↓ ↓ ↓ ↓ ↓ ↓ ↓ ↓	11-27	
T-4	Asn-Gly-Ala-Asp-Gly-Ser-Tyr-Cys(Cm)-Gln-Trp-Leu-Gly-Arg ↓ ↓ ↓ ↓ ↓ ↓ ↓ ↓ ↓ ↓ ↓ ↓ ↓ ↓	29-41	
T-5	Phe-Gly-Asn-Ala-Cys(Cm)-Trp-Cys(Cm)-Lys ↓ ↓ ↓ ↓ ↓ ↓ ↓ ↓ ↓ ↓ ↓ ↓	42-49	
T-6	Asn-Leu-Pro-Asp-Asp-Val-Pro-Ile-Arg ↓ ↓ ↓ ↓ ↓ ↓ ↓ ↓ ↓ ↓ ↓ ↓	50-58	
T-7	Ile-Pro-Gly-Glu-Glu-Cys(Cm)-Arg ↓ ↓ ↓ ↓ ↓ ↓ ↓ ↓ ↓ ↓ ↓ ↓	60-66	
Ch-1	Ala-Arg-Asp-Ala-Tyr ↓ ↓ ↓ ↓ ↓ ↓	1-5	
Ch-2	Ile-Ala-Asp-Asp-Arg-Asn-Cys(Cm)-Val-Tyr ↓ ↓ ↓ ↓ ↓ ↓ ↓ ↓ ↓ ↓ ↓ ↓	6-14	
Ch-3	Thr-Cys(Cm)-Ala-Leu-Asn-Pro-Tyr ↓ ↓ ↓ ↓ ↓ ↓ ↓ ↓ ↓ ↓ ↓ ↓	15-21	
Ch-4	Cys(Cm)-Asp-Ser-Glu-Cys(Cm)-Lys-Lys-Asn-Gly-Ala-Asp-Gly-Ser-Tyr ↓ ↓ ↓ ↓ ↓ ↓ ↓ ↓ ↓ ↓ ↓ ↓ ↓ ↓	22-35	
Ch-6	Leu-Gly-Arg-Phe ↓ ↓ ↓ ↓ ↓ ↓	39-42	
Ch-8	Cys(Cm)-Lys-Asn-Leu-Pro-Asp-Asp-Val-Pro-Ile-Arg-Lys-Ile-Pro-Gly- Glu-Glu-Cys(Cm)-Arg ↓ ↓ ↓ ↓ ↓ ↓ ↓ ↓ ↓ ↓ ↓ ↓ ↓ ↓	48-66	
Ch-5	Cys(Cm) — Gln — Trp ↓ ↓ ↓ ↓ ↓ ↓	36-38	
Ch-7	Gly- — Asn — Ala — Cys(Cm) — Trp ↓ ↓ ↓ ↓ ↓ ↓	43-47	

Примечание. → — стадии деградации по Эдману.

воды для растворения белка. Реакцию проводили в темноте при 20° С в течение 1 ч. Затем реакционную смесь разбавили равным объемом воды и трижды экстрагировали BNPS-скатолом 1-хлорбутаном. Водную фазу после разведения водой упарили досуха.

Химотриптический гидролиз СМ-токсина M_{14} . К 200 нмоль токсина, растворенного в 200 мкл 0,1 М NH_4HCO_3 (рН 8,3), добавляли химотрипсин в соотношении 1 : 50. Реакцию вели 4 ч при 37° С. Гидролизат после упаривания разделяли методом ВЭЖХ с обращенной фазой на колонке В в градиенте концентрации ацетонитрила в 10 мМ NH_4OAc (рН 5,7). В аналогичных условиях проводили гидролиз 20 нмоль пептида T-3 из токсина M_{14} .

Аминокислотную последовательность пептидов устанавливали методом Эдмана по описанным ранее методикам [9, 10]. При этом в дансильном варианте использовали идентификацию амидов дикарбоновых кислот и самих кислот в виде Pth-производных [11].

Авторы выражают благодарность акад. Ю. А. Овчинникову за постоянное внимание к работе, ценные советы и замечания.

ЛИТЕРАТУРА

1. Catterall W. A., Hartshorn R. P., Beneski D. A. Toxicon, 1982, v. 20, № 1, p. 27-40.
2. Ovchinnikov Yu. A., Grishin E. V. Trends. Biochem. Sci., 1982, v. 7, № 1, p. 26-28.
3. Zlotkin E., Martinez G., Rochat H., Miranda F. Insect Biochemistry, 1975, v. 5, № 3, p. 243-250.
4. Zlotkin E., Miranda F., Lissitzky S. Toxicon, 1972, v. 10, № 3, p. 207-209.

5. Гришин Е. В., Солдатов Н. М., Ташмухамедов Б. А., Атакузиев Б. У. Биоорган. химия, 1978, т. 4, № 4, с. 450–461.
6. Гришин Е. В., Волкова Т. М., Солдатова Л. Н. Биоорган. химия, 1982, т. 8, № 2, с. 155–164.
7. Гришин Е. В., Солдатова Л. Н., Шахпаронов М. И., Казаков В. К. Биоорган. химия, 1980, т. 6, № 5, с. 714–723.
8. Волкова Т. М., Гарсия А. Ф., Тележинская И. Н., Потапенко Н. А., Гришин Е. В. Биоорган. химия, 1984, т. 10, № 7, с. 979–982.
9. Gray W. R. In: Methods in Enzymol. N. Y.—L.: Acad. Press, 1967, v. XI, p. 469–475.
10. Липкин В. М., Алданова Н. А., Фейгина М. Ю., Жикулина Е. Б., Виноградова Е. И. Биохимия, 1972, т. 37, № 2, с. 410–413.
11. Алахов Ю. Б., Могуз Л. П., Стенгревиц О. А., Винокуров Л. М. Биоорган. химия, 1978, т. 4, № 10, с. 1301–1313.
12. Ambler R. P. In: Methods in Enzymol. N. Y.—L.: Acad. Press, 1972, v. XXVB, p. 143–154, 262–272.
13. Reisfeld R. A., Lewis U. J., Williams D. E. Nature, 1962, v. 195, № 4838, p. 281–283.
14. Белен'кий М. Л. Элементы количественной оценки фармакологического эффекта. Л.: Гос. изд-во мед. лит-ры, 1963, с. 81.
15. Crestfield A. M., Moor S., Stein W. H. J. Biol. Chem., 1963, v. 238, № 2, p. 622–627.
16. Жданова Л. Н., Аладович Т. Б., Назимов И. В., Гришин Е. В., Овчинников Ю. А. Биоорган. химия, 1977, т. 3, № 4, с. 485–493.

Поступила в редакцию
7.V.1985

STUDY OF NEUROTOXINS FROM THE VENOM OF CENTRAL ASIAN SCORPION *BUTHUS EUPEUS*

VOLKOVA T. M., GARSIA A. F., TELEZHINSKAYA I. N.,
POTAPENKO N. A., GRISHIN E. V.

*M. M. Shemyakin Institute of Bioorganic Chemistry, Academy
of Sciences of the USSR, Moscow*

Three main polypeptide neurotoxins M₉, M₁₀, M₁₄, possessing paralytic activity in mice, have been isolated from the venom of the Central Asian scorpion *Buthus eupeus*. The amino acid composition of these toxins was determined. Toxins M₉ and M₁₄ were digested with trypsin, chymotrypsin, *Staphylococcus aureus* proteinase and cleaved with BNPS-skatole. The complete amino acid sequences of the toxins M₉ and M₁₄ were established.